

建設省土木研究所 正員 橋本 宏
建設省土木研究所 正員 ○山口 修

1. えまき

海洋構造物に作用する波力に関する研究は、これまでに数々に行はれているが、これらの研究は模型実験を中心としたものであり、現地観測による検討は十分とはいえない。本研究は、このような観点から、工研漂砂観測用構橋の先端の橋脚に波圧計を取り付、半周波圧の強度、周方向分布特性、来襲波との関連などについて検討を行ったものである。

2. 現地観測

茨城県阿賀川浦海岸の漂砂観測用構橋の橋脚（径0.6m）に16個の差動トランス型波圧計と円周方向に取り付け、昭和51年12月7日に波高・波圧・波向の観測実施した。観測状況を図-1に示す。観測時の

周波数特性0~150Hz、出力電圧200mV/Faである。この波圧計16個を駆動ベルトに接着して円周方向に取り付け観測を行った。波向観測用機器背後の左のエビ、アリゲーターを用いて日影観測によるものであり、観測時の波向はN36°Eである。波高計及び波圧計からの出力信号はケーブルによって機器室内に取り置き、屋まで伝送し、データレコーダに記録した。波圧計は各チャネル毎に出力エセ、波高と合わせて170回の記録と3台のレコーダに分割して記録した。波圧計のOT基準値は観測前日に波圧計が水面上に出て運転直時を基準にヒューズ調節して、ほぼ観測時の風向・風速は北東の風、1.5m/sである。

3. 円柱に作用する波圧の次元解析

円柱に作用する最大波圧Pmに關係する物理量の間に構造物の相違、水の表面張力、圧縮性の影響等2次的以上のとして考慮し、海底勾配及び波圧計の取付水深を一定とすれば次の関係が成立する。

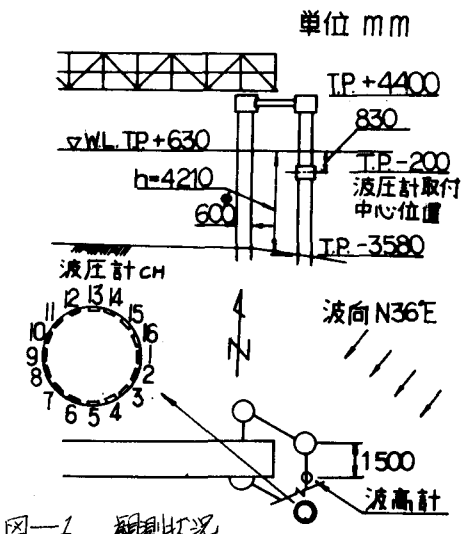
$$\phi(P_m, H, L, h, g, \rho, \mu, D, \theta) = 0 \quad \dots \dots (1)$$

ここで、 P_m ：最大波圧、 H ：波高、 L ：波長、 h ：円柱前面の水深、 g ：重力の加速度、 ρ ：海水の密度、 μ ：水の粘性係数、 D ：円柱の直径、 θ ：円柱角である。(1)式に元定理を適用して、次元解析を行ない、底本の粘性を小ないとすると円柱前面に作用する最大波圧は次式で与えられる。

$$\frac{P_m}{\rho H} = \phi'(\frac{D}{L}, \frac{h}{H}, \frac{H}{D}, \theta) \quad \dots \dots (2)$$

4. 観測結果

解析に使用したのは、アナログ観測記録と0.2秒のサンプリング周期でA-D変換した約400秒のデータである。波をゼロアップクロス流れて2-波起算義し、最大波圧Pmは排水水压と差引いた後、波圧の第1セグメントの値をとって整理した。整理データは波高1m以上とのものを対象としており、平均波高及び周期はそれぞれ1.72m、12.3秒、また最大波高及び最大波圧はともに2.97m、0.15m/sである。来襲波の特性を図-2に



水深は4.2mであり、波圧計の取付位置は水面下0.83mである。波高は容量式波高計によって測定したが、測定位置が橋脚への面地點であること、また波高計の下端は足場用パイヤーで矩形に組んだもので固定しており、波高が大きい場合にはパイヤーが多少動くのが分かってことから、測定値には10cm程度の誤差が含まれているものと考えられる。波圧測定に使用した波圧計は差動トランス型波圧計であり、尼格羅波3%，受圧面有効径60mm，固有振動数約500Hz

ある。図中の破線は合田の研究結果である(観測地を沖浪の海底勾配が1/40である)。観測地には、浅水部附近が第1碎波帯であるため、図からわかるように、完全碎波の波より早く、観測地で波压は比較的小さい。また、碎波やそれに近い波では3衝撃圧を測定する場合にはデータのサンプリング

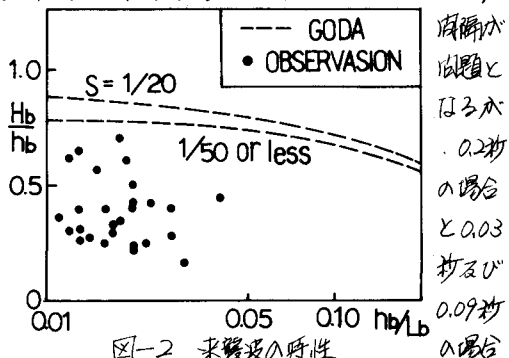


図-2 来襲波の特性

P_H を比較した結果、使用したデータの範囲ではその大きさにはほとんど変化がなく、したがって以下での解析には0.2秒の場合のデータを使用した。なお解析はCH(1, 3, 5, 9, 13, 15)について行った。

(i)無次元波压と水深・波高比の関係 次元解析結果に従って、 P_{WH} と H/H の関係を D/L , H/D をパラメータとして整理して結果をCH1の場合について図-3に示す。 H/H が大きくなるにつれて P_{WH} が大きくなり、また H/D の値も大きくなる。この傾向の前面でも前回で述べた。

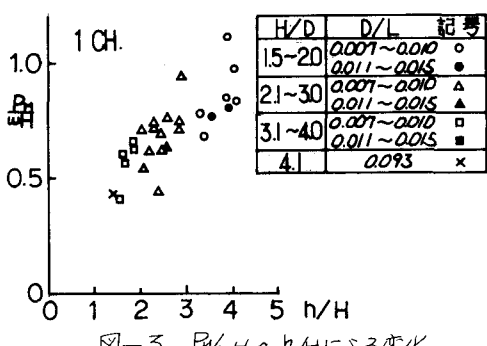


図-3 P_{WH} vs H/H による変化

(ii)無次元波压と波高・直徑比の関係 CH1の場合を図-4に示す。データのバラツキはCH1の場合と同程度であり、比較的バラツキが少ない。 D/L が小くなるにつれて P_{WH} は増大する。他のCHと同様である。

(iii)無次元波压と直徑・波長比の関係 CH1の場合

を図-5に示す。小口径円柱であるため、当然ながら D/L は重要なパラメータとはならない。 P_{WH} の影響は直接的には入っていないため、観測結果を説明する理論としては適切とはいえないが、微小振幅波理論による計算値も図に実線で示している。今回の観測値は(1)と計算値より大きい。

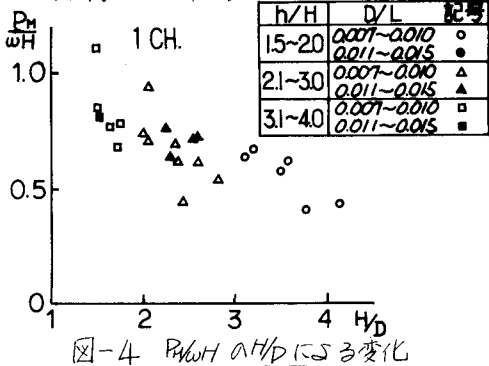


図-4 P_{WH} vs H/D による変化

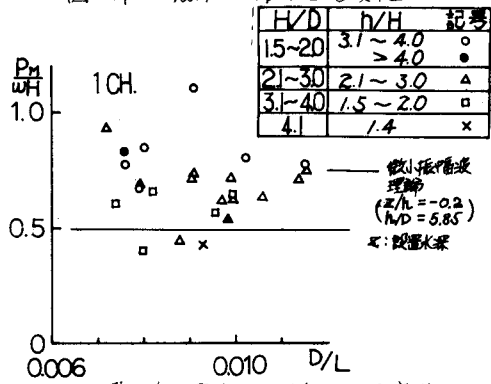


図-5 P_{WH} vs D/L による変化

以上より、 P_{WH} は粗い推定としては H/D , H/H の関数として表現できると言える。

(iv)同時に現れる水平分布 図-6に整理結果を示す。実線は微小振幅波理論による計算値であるが、観測値にCH5で大きな圧力低下がみられる。この原因として、逆流渦頭の増大及び後流渦の発生による圧力低下などが考えられる。検討中であるので、結果は講演時に御めんたい。

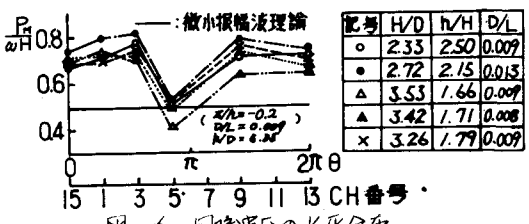


図-6 同時波压の水平分布

参考文献 中村・阿部・高見・毛島(1975) 海岸 PP.519~524
合田(1970) 工程公論集 PP.39~69
安田・石田(1975) 海岸 PP.531~537